

FIG. 1A

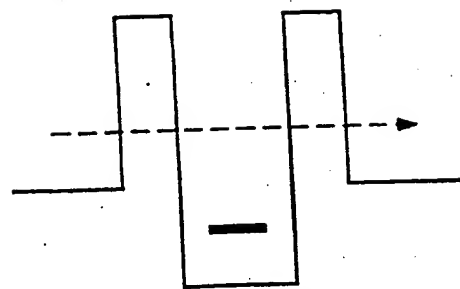


FIG. 1B

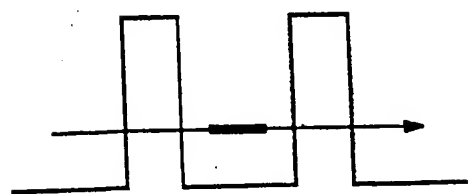


FIG. 2A

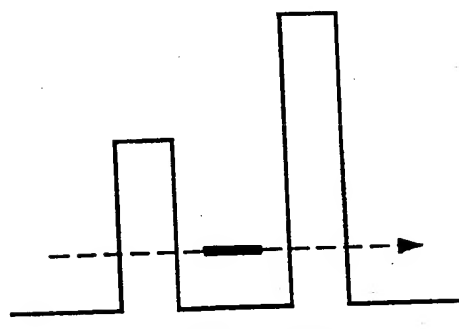


FIG. 2B

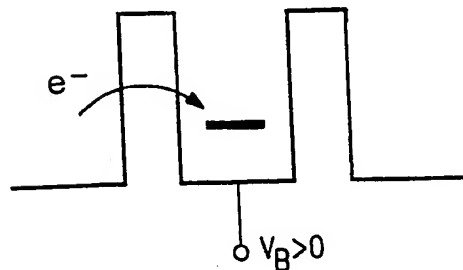


FIG. 3A

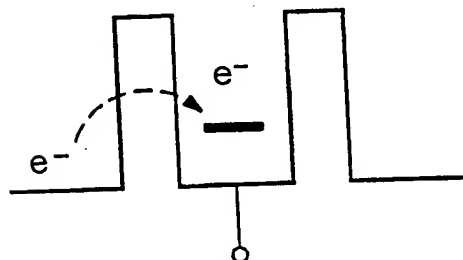


FIG. 3B

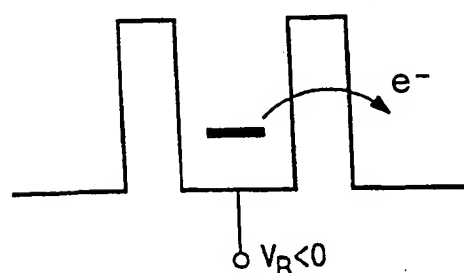


FIG. 3C

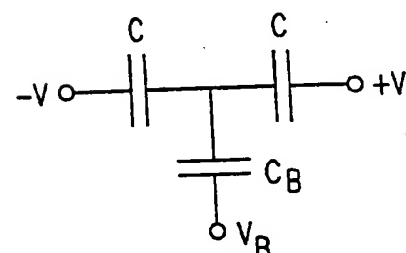


FIG. 3D

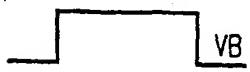
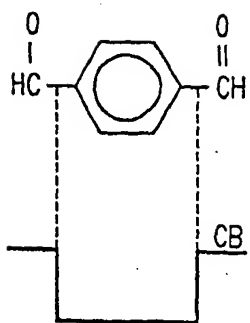


FIG. 4A

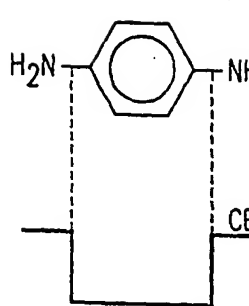


FIG. 4B

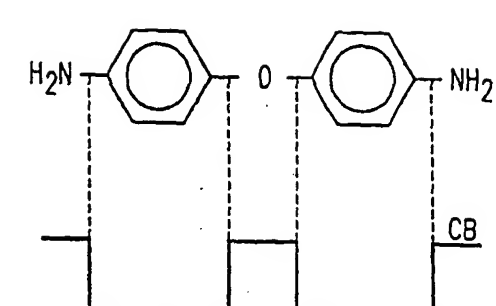


FIG. 4C

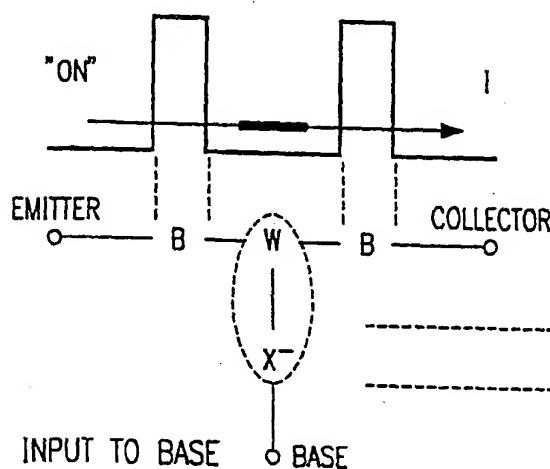


FIG. 5A

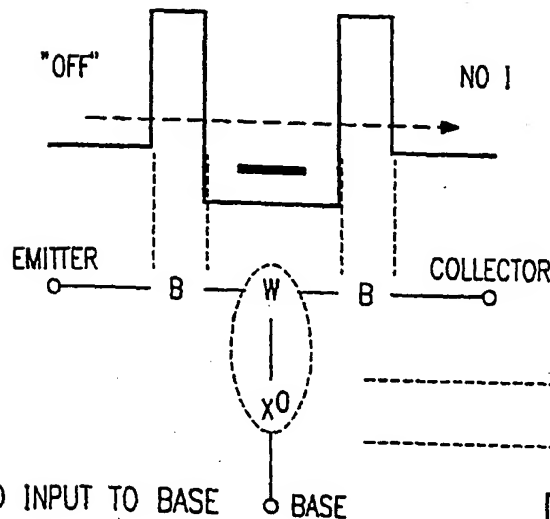


FIG. 5B

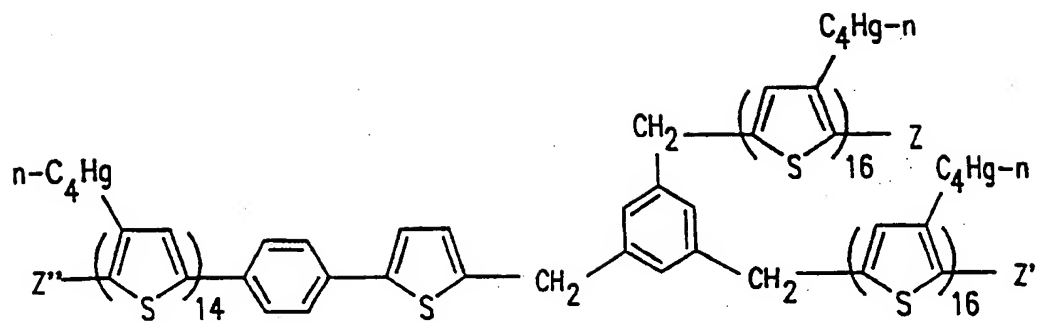


FIG. 6

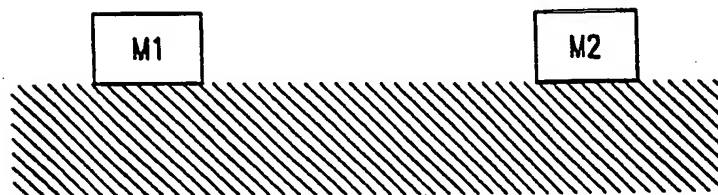


FIG. 7A

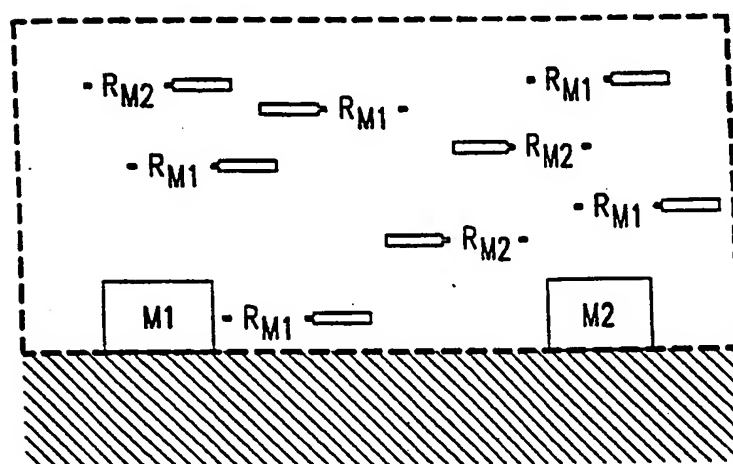


FIG. 7B

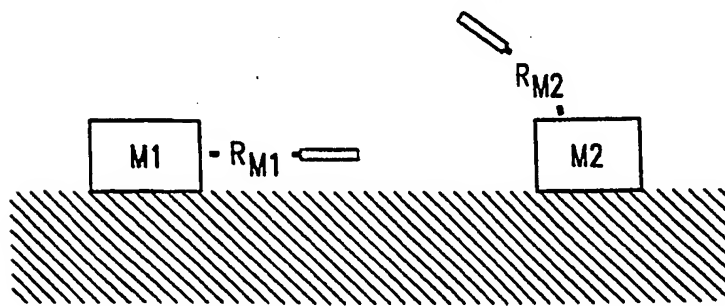


FIG. 7C

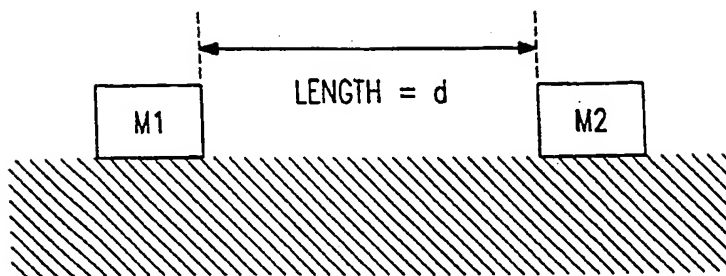


FIG. 8A

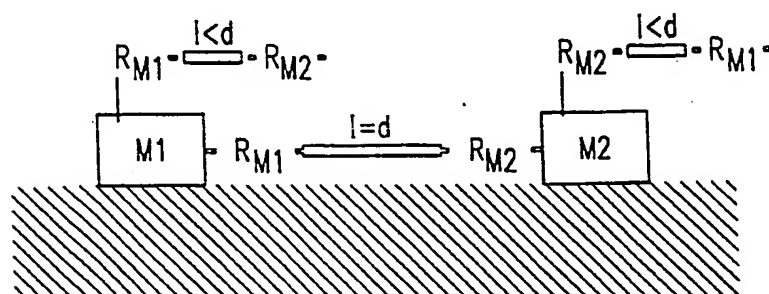


FIG. 8B

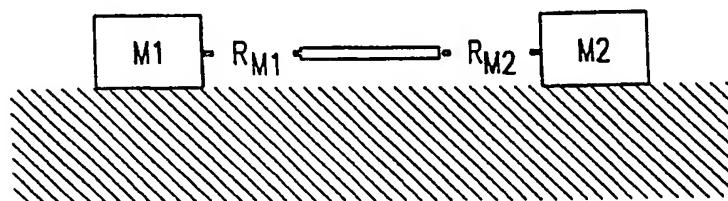


FIG. 8C

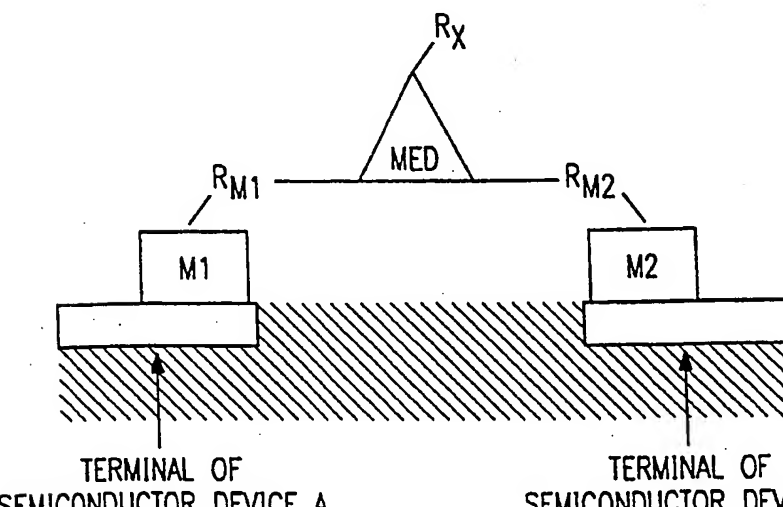


FIG. 9

TERMINAL OF  
SEMICONDUCTOR DEVICE A

TERMINAL OF  
SEMICONDUCTOR DEVICE B

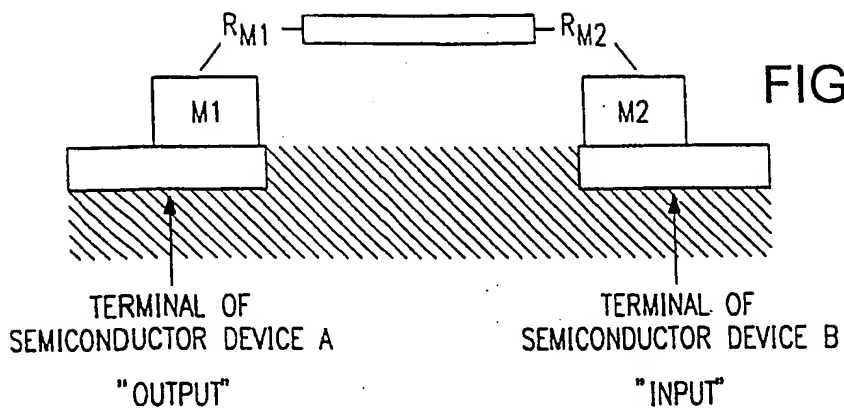


FIG. 10

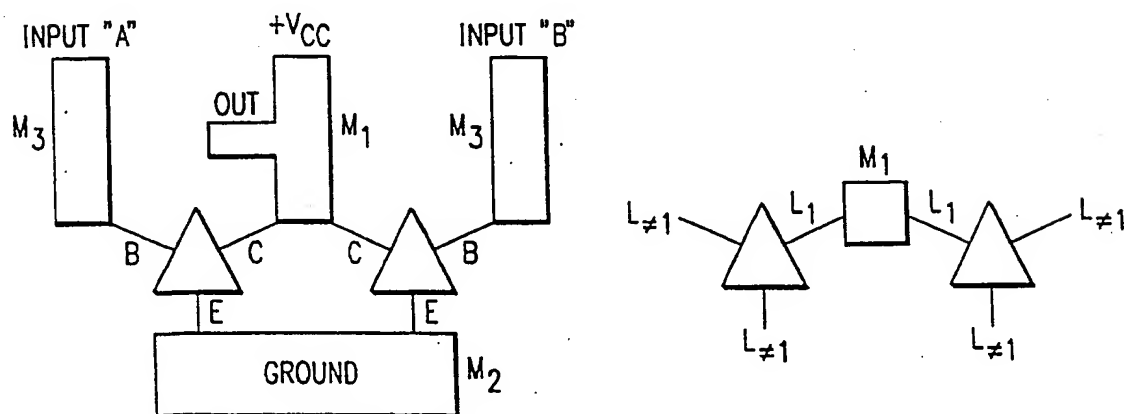
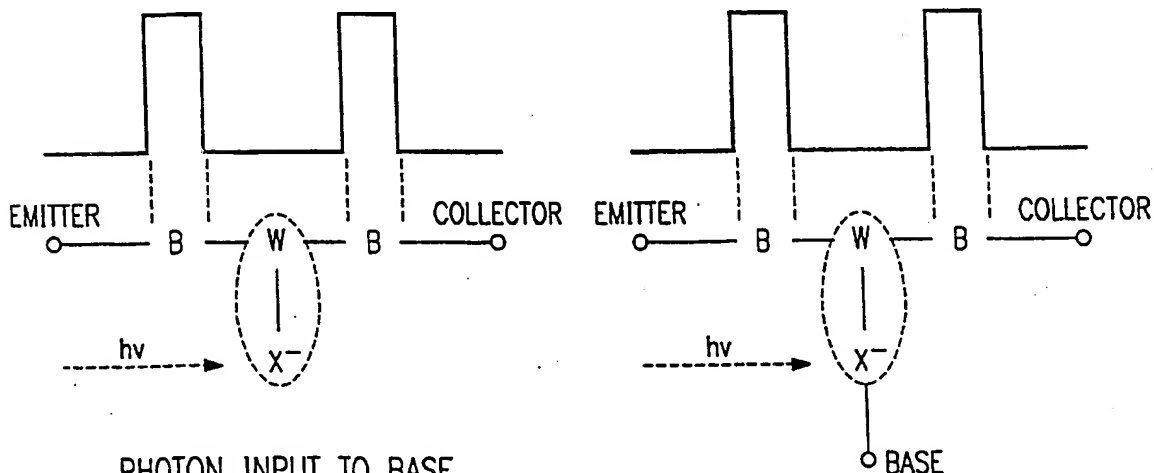


FIG. 11

FIG. 12

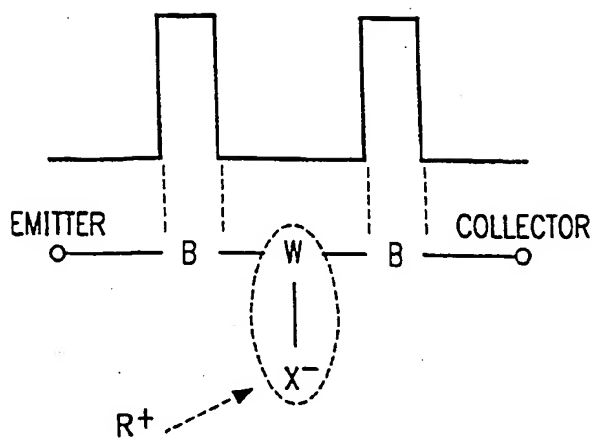


PHOTON INPUT TO BASE

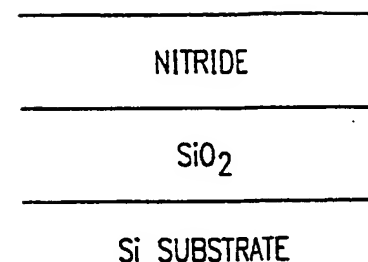
FIG. 13A

ELECTRONIC  
INPUT TO BASE

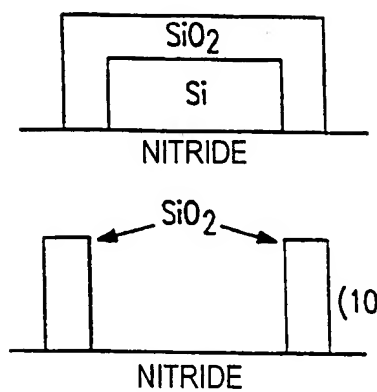
FIG. 13B



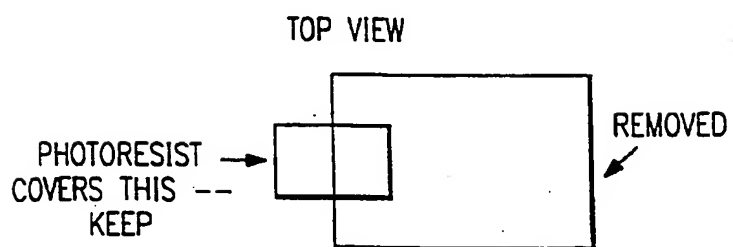
IONIC INPUT TO BASE  
**FIG. 13C**



**FIG. 14A**



**FIG. 14B**



**FIG. 14C**

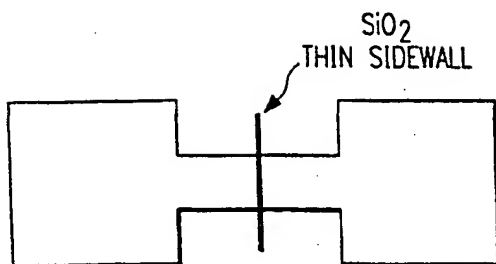


FIG. 14D1

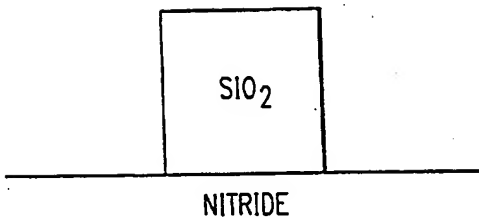


FIG. 14D2

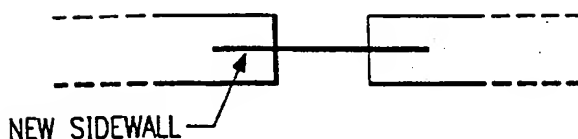
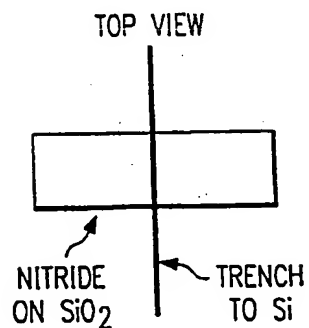


FIG. 14E1



SIDE VIEW

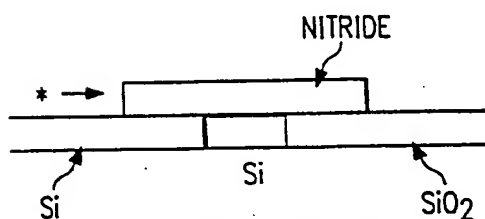


FIG. 14E2

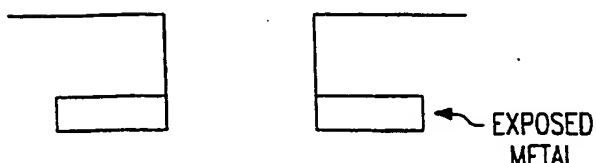


FIG. 14F1

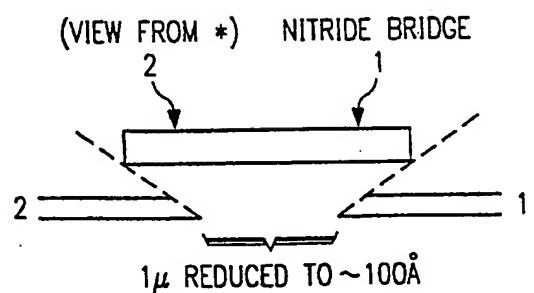


FIG. 14F2